

# PC 파워 서플라이용 비대칭 하프브리지 DC/DC 컨버터의 초기 구동시 돌입전류 제거 기법

김재국<sup>†</sup>, 이성세<sup>†</sup>, 오원식<sup>†</sup>, 김정은<sup>†</sup>, 문건우<sup>†</sup>, 길창현<sup>‡</sup>, 조자룡<sup>‡</sup>  
KAIST<sup>†</sup>, IDKorea<sup>‡</sup>

## Start-up In-rush Current Reduction Technique of Asymmetrical Half-Bridge DC/DC Converter for PC Power Supply

Jae-Kuk Kim<sup>†</sup>, Sung-Sae Lee<sup>†</sup>, Won-Sik Oh<sup>†</sup>, Jung-Eun Kim<sup>†</sup>, and Gun-Woo Moon<sup>†</sup>, Chang-Hyun Gil<sup>‡</sup>, Ja-Ryong Cho<sup>‡</sup>  
KAIST<sup>†</sup>, IDKorea<sup>‡</sup>

### ABSTRACT

This paper presents a start-up in-rush current reduction technique of asymmetry half-bridge DC/DC converter for PC power supply. The proposed converter is composed center-tapped half-bridge converter with blocking capacitor. The proposed converter can reduce the severe in-rush current when the proposed converter is power up. The validity of this study is confirmed from the experimental results.

### 1. 서 론

최근에 PC의 전원 공급 장치는 CPU·메인보드·HDD·그래픽카드 등이 고성능화되면서 급격하게 전력소모량이 높아지고 있는 상황으로 350W, 400W, 550W 등으로 고전력화되는 추세이다. 따라서 고급 사양의 데스크탑 PC를 중심으로 업그레이드 수요가 크게 늘 것으로 예상되는 상황이기 때문에, 고 전력의 PC 전원장치의 개발이 매우 중요하다. 또한 기존의 PC 전원장치의 효율은 약 70%대로 매우 낮은 효율을 보이고 있어 고유가 시대에서는 에너지 소비 측면에서도 고효율의 전원장치가 필요하다. PC 전원장치는 저가격 제품이어야 하므로 가격의 큰 증가 없이 고효율을 얻기 위한 회로 기술이 필요하다.

그림 1은 기존의 하프브리지 컨버터이다. 하프브리지 컨버터는 전압 더블러를 적용할 수 있어서 220V 입력뿐만 아니라 110V 입력에서도 쉽게 사용할 수 있어 많이 사용되고 있다. 높은 효율을 얻기 위해서 비대칭 하프브리지 컨버터는 적은 수의 스위치로 영 전압 스위칭을 통해 높은 효율을 가지므로 저전압 대 전류의 특성을 갖는 PC 서플라이로 적당하다. 그러나 비대칭 하프브리지 컨버터는 그림 2와 같이 초기 구동 시 60A 이상의 심각한 돌입 전류가 발생하는 문제점을 지닌다.

본 논문에서는 비대칭 하프브리지의 초기 구동 시 심각한 돌입 전류를 줄이기 위한 기법을 제안하고, 제안된 기법의 타당성을 검증하기 위해 400W급 PC 파워 서플라이의 제작을 통한 실험 및 분석을 제시한다.

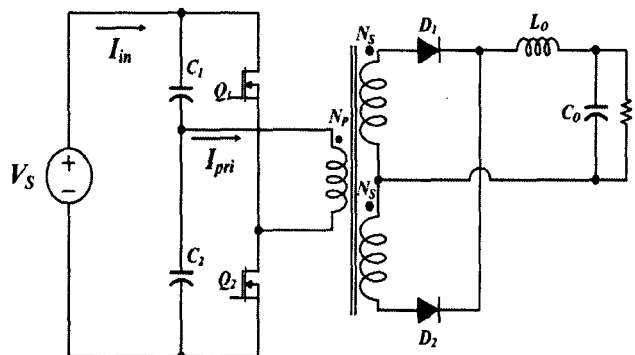


그림 1 기존의 컨버터  
Fig. 1 Conventional Converter

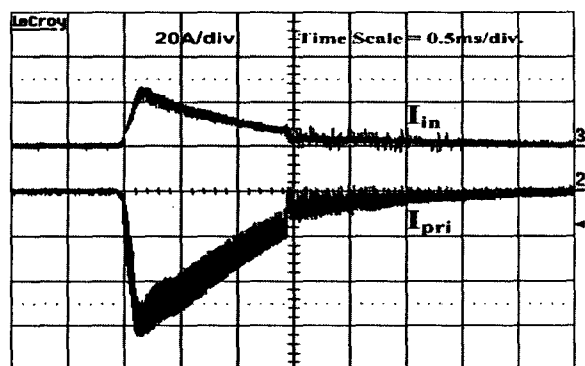


그림 2 초기 구동시 돌입 전류  
Fig. 2 start-up in-rush current

### 2. 본 론

#### 2.1 제안된 컨버터의 구성

제안된 회로의 구성은 그림 3과 같다. 일반적으로 비대칭 하프 브리지를 한 개의 커패시터를 이용하여 구성 하지만 110V와 220V 전환을 위하여 두개의 link 커패시터를 사용한다. 그리고 변압기에 직렬로 Blocking 커패시터  $C_B$ 를 달아 초기 구동 시 발생하는 in-rush current를 제거한다. 변압기 2차 측은 center-tapped 구조로 출력을 얻는다.

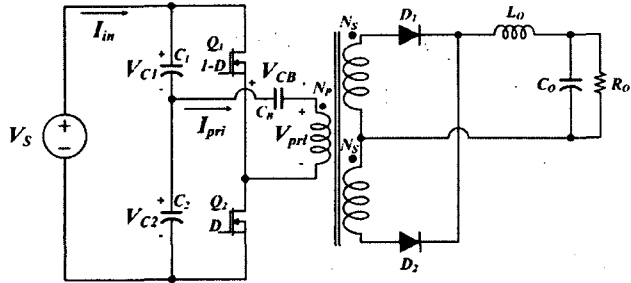


그림 3 제안된 컨버터  
Fig. 3 Proposed Converter

## 2.2 제안된 컨버터의 정상 상태 동작원리

정상 상태에서 주요 부분의 전압, 전류는 다음과 같다.

$$V_{C_1} = \frac{V_S + C_T V_{C_B}}{2}$$

$$V_{C_2} = \frac{V_S - C_T V_{C_B}}{2}$$

$$V_{C_B} = \frac{2D-1}{C_T+2} V_S$$

$$V_O = 2D(1-D) \frac{N_S}{N_P} V_S$$

$$(단, C_T = \frac{C_B}{C_{link}}, C_1 = C_2 = C_{link})$$

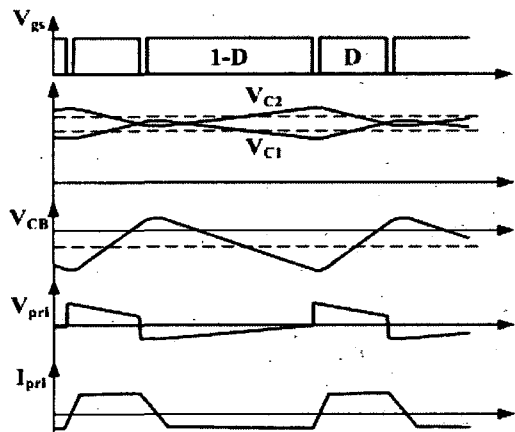


그림 4 제안된 컨버터의 주요 파형들  
Fig. 4 Key waveforms of the proposed converter

그림 4는 제안된 컨버터의 주요 파형들이다. 제안된 컨버터의 정상 상태 동작은 기존의 비대칭 하프 브리지와 거의 동일하다. 기존의 컨버터에 비해 달라진 점은  $C_B$ 의 추가로 인해  $V_{C_1}$ ,  $V_{C_2}$ 의 전압이 달라진다는 점이다. 기존에  $V_{C_1} = DV_S$ ,  $V_{C_2} = (1-D)V_S$ 로 duty에 의해서 비대칭적으로 나뉘어 걸렸는데,  $C_B$ 에 의해 위 식처럼 offset이 바뀌게 된다. 즉,  $C_B$ 의 추가로  $V_{C_1}$ ,  $V_{C_2}$  전압 모두 duty와  $C_B$ 의 값에 dependent하게 된다. 그림 5와 6은  $V_S = 300V$ 일 때, duty와  $C_B$  값에 따라서 기존에 비해  $V_{C_1}$ ,  $V_{C_2}$  전압이 어떻게 달라지는지 나타낸 그림이다.

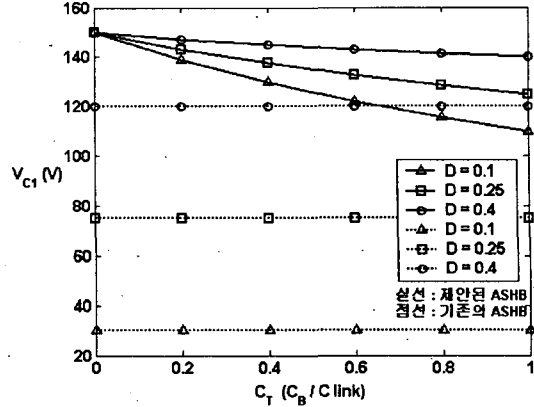


그림 5 CT와 Duty(D)에 따른 VC1  
Fig. 5 VC1 with respect to CT and Duty(D)

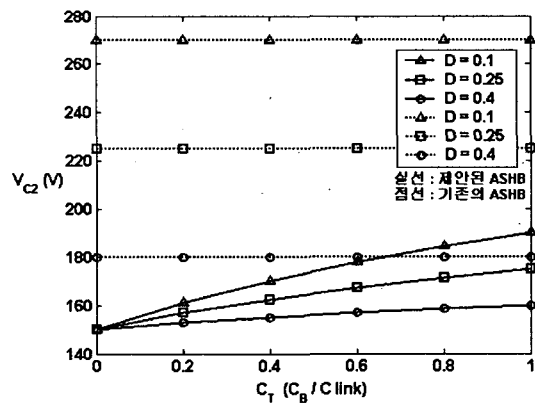


그림 6 CT와 Duty(D)에 따른 VC2  
Fig. 6 VC2 with respect to CT and Duty(D)

위 그림에서 알 수 있듯이 기존의 비대칭 하프 브리지 컨버터의  $V_{C_1}$ ,  $V_{C_2}$  전압이  $C_B$ 를 달음으로써 duty에 따라 그 차이가 현저히 줄어든다는 것을 알 수 있다. 따라서 기존에 비해 link 커패시터  $C_1$ ,  $C_2$ 의 내압이 더 작은 것을 택할 수 있게 된다.

## 2.3 기존 컨버터의 초기 구동 시 동작원리

스위칭을 하기 전에 각각의 link 커패시터  $C_1$ ,  $C_2$ 에 걸린 전압은 입력전압  $V_S$ 의 절반인  $V_S/2$ 가 된다. 그런데 초기 구동 시 파워를 0부터 점차적으로 늘려가면서 load에 전달하기 위해 제어기의 duty를 0부터 필요한 duty까지 증가시키는 soft start를 하게 된다. 이 과정에서 원하지 않는 in-rush current가 발생하게 된다.

$Q_2$ 에 duty를 0부터 증가시키게 되면 그 duty에 맞게 변압기의 primary와 2차 측 인덕터의 Voltage Second Balance를 맞춰주기 위해 primary 전류가 크게 증가하게 된다. 즉, 정상 상태로 가는 과정에서 link 커패시터  $C_1$ 에는  $DV_S$ 의 전압이 되도록 전류가 흐를 것이고,  $C_2$ 에는  $(1-D)V_S$ 의 전압이 되도록 전류가 흐를 것이다. 초기에  $C_1$ ,  $C_2$ 에는 이 정상 상태 전압과는 차이가 큰  $V_S/2$ 의 전압이 차 있었기 때문에 많은 전류가 흐르게 된다.

## 2.4 기동시 In-rush 전류 제거 기법

우선, link 커패시터로 작은 커패시턴스를 갖는 커패시터를 쓰는 방법이 있다. 전압의 차이가 크다고 하더라도 link 커패시터의 커패시턴스가 작다면 보다 작은 전류로 정상 상태 전압에 도달할 수 있다. 실험 결과  $C_1$ ,  $C_2$ 로 miler 커패시터 2.2uF을 썼을 때, 그림 7와 같이 약 25A의 in-rush 전류가 생김을 확인할 수 있었다. 또한  $I_{in}$  전류로부터 in-rush 전류로 인해 EMI noise가 생길 수 있음을 알 수 있다.

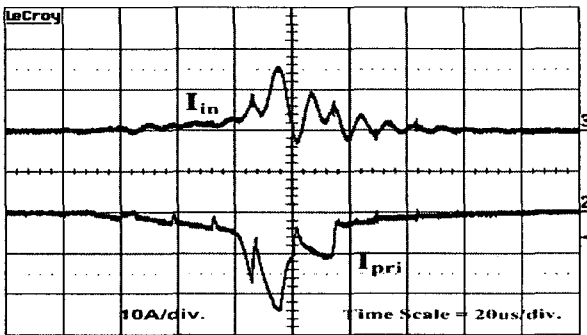


그림 7 초기 구동시 돌입 전류

Fig. 7 start up inrush current

하지만 60Hz ac line 입력을 받아서 full rectifier를 거쳐 DC 전압으로 만들 경우 link 커패시터가 작으면 DC 전압이 많이 흔들릴 수 있고 그 결과 DC/DC 컨버터에 많은 부담을 줄 수 있다. 따라서 이 방법은 좋은 방법이라고 할 수 없다.

다음으로, 초기 구동 전에  $C_1$ 의 커패시터의 전압을 0V로 떨어뜨리고 구동을 시작하는 방법이 있다. 이를 위해  $C_1$ 에 병렬로 더미 저항을 달아주게 된다. 그러면 초기에  $C_1$ 에 걸린 전압이 RC 시정수에 의해  $V_S/2$ 에서 0으로 떨어지게 되고, 반대로  $C_2$ 의 전압은  $V_S/2$ 에서  $V_S$ 로 올라가게 된다. 최대한 빠른 속도로 방전시키는 것이 유리하기 때문에 R을 작게 가는 것이 유리할 수 있다. 하지만 손실 측면에서 볼 때, 이 더미 저항에서 동작 내내 지속적으로  $V_{C_1}/R$ 의 손실이 발생하기 때문에 효율을 고려한다면 R은 되도록 크게 하는 것이 바람직하다. 실험 결과 link 커패시터로 충분히 큰 470uF을 쓰고, 더미 저항으로  $R=47k\Omega$ 을 쓰더라도 초기 구동 전 link 커패시터 전압이 0V로 떨어지는데 20초 이상이 걸림을 알 수 있었다. 따라서 더미 저항에서의 전력 소모에 의한 효율 감소와 초기 구동이 그 이전에 이루어질 수 있다는 측면에서 볼 때 바람직한 방법이 될 수 없다.

마지막으로, 제안한 것과 같이 변압기에 직렬로 작은 커패시터  $C_B$ 를 달는 방법이 있다. 초기 구동 시 1-D 동안  $Q_2$ 가 ON이 되었을 때  $V_S/2$ 로 충전 되어 있는  $C_1$ 으로부터 아주 작은 전류에 의해  $C_B$ 의 전압이  $V_S/2$ 로 충전된다. 그 결과 변압기의 primary에는 0전압이 걸리게 된다. 반대로  $Q_1$ 이 ON이 되었을 때,  $C_B$ 에 의해 충전된  $V_S/2$ 의 전압과  $C_2$ 의 전압이 더해져서 변압기의 primary에  $V_S$ 의 전압이 걸리게 된다. 결국 초기 구동시  $C_B$ 에 걸리는 전압에 의해 변압기의 primary와 2차 측인덕터의 Voltage Second Balance가 맞춰지면서 primary

전류의 in-rush current를 없앨 수 있게 된다. 실험 결과  $C_B = 220nF$ 을 썼을 때, 그림 8과 같이 in-rush 전류가 제거되고 소스로부터의 전류  $I_{in}$  역시 발생하지 않음을 확인할 수 있었다.

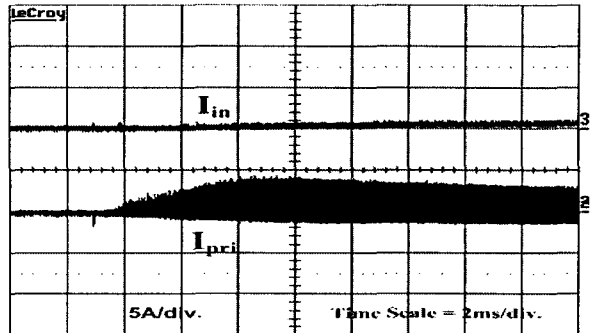


그림 8 초기 구동시 돌입 전류

Fig. 8 start up inrush current

## 3. 결 론

본 논문에서는 비대칭 하프브리지 컨버터에서 초기 구동 시 심각한 돌입 전류가 발생하는 문제점에 대해 분석하고, 이를 줄이기 위한 세 가지 방법을 제안하고, 각각의 제안된 기법의 타당성을 검증하기 위해 그림 9와 같이 400W급 PC 파워 서플라이의 제작을 통한 실험 및 분석을 제시하였다. 실험 결과 첫 번째 방법은 rectified DC 전압이 흔들리는 문제가 발생하기 때문에 바람직하지 않고, 두 번째 방법은 더미 저항에 의한 전압 감소 시간과 효율 측면에서 바람직하지 않다. 세 가지 방법 중 변압기에 직렬로 작은 커패시터를 달는 마지막 방법이 가장 효과적임을 확인하였고, 이로써 초기 구동 시 반도체 소자에 큰 손실을 줄 수 있는 in-rush current를 제거할 수 있었다.

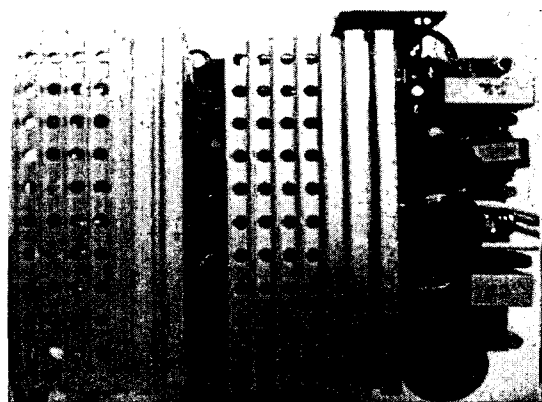


그림 9 PC 파워 서플라이 프로토타입

Fig. 9 PC Power Supply Prototype

## 참 고 문 헌

- [1] Sergey Korotkov, Valery Meleshin, Rais Miftahutdinov, Simon Frajdl, "Soft-switched Asymmetrical Half-bridge DC/DC Converter: Steady-state Analysis of Switching Processes", Telecommunications Energy Special Conference, 97, 1997, pp. 177 - 184.